

펄스 튜브를 이용한 수중 음향 성능 측정 시스템 개발

Development of Underwater Acoustic Performance Measurement System Using Pulse Tubes

서운호† · 김상렬* · 이성민* · 변양현** · 서영수***

Yun-Ho Seo, SangRyul Kim, Sung-Min Lee, Yang-Heon Byun and Youngsoo Seo

Key Words : Underwater acoustic material, pulse tube, impedance tube, echo reduction, transmission loss

ABSTRACT

Underwater acoustic materials are installed in order to reduce reflection, transmission and radiation of an underwater structure. The acoustic performance of the materials should be evaluated in accurately-controlled environment in terms of temperature and static pressure. In this paper, three pulse tubes, which is equipped with temperature and pressure controllers, are designed and developed to evaluate echo reduction and transmission loss for evaluating the performance below 10 kHz and 30 kHz, respectively. The new procedures of the evaluation are suggested to improve the accuracy and the validation for the developed pulse tubes is carried out by comparing theoretical values to experimental ones.

1. 서 론

수중에 위치하는 구조물은 자체 진동에 의해 소음을 발생시키기도 하며, 외부의 소음이 구조물에 반사시켜 소음을 방사하기도 한다. 이와 같은 수중 구조물이 발생시키는 소음 문제를 해결하기 위해서 여러 종류의 수중 음향 코팅재가 개발되어 사용되고 있다. 수중 음향 코팅재는 구조물 표면에 부착되어 구조물이 발생시키는 소음을 줄일 수 있을 뿐만 아니라 구조물 내부로 전달되는 소음 또한 제어할 수 있다. 일반적으로 위와 같은 특성을 위해서는 물과 유사한 특성 임피던스(characteristic impedance)를 갖는 천연고무, 합성고무, 폴리우레탄과 같은 점탄성 재료가 주로 사용되고 있다. 이 경우 기본적으로 점탄성 재료들은 온도 및 압력 변화에 따라 그 특성이 급격히 변하는 성질을 가지고

있기 때문에 수중 음향 시편의 정확한 특성을 평가하기 위해서는 정밀하게 온도 및 압력의 조절이 가능한 환경에서의 시험을 필수적이라 할 수 있다.

온도 및 압력이 조절되는 환경하에서 음향 성능 시험은 일반적으로 두가지 방법을 이용하여 수행될 수 있다. 하나는 압력 챔버(pressure chamber)를 이용하는 방법으로 물의 온도와 압력을 조절할 수 있는 챔버 내부에 흡음재를 설치하고 성능 측정의 대상이 되는 시편을 중앙에 설치한다[1]. 시편 한편에 음향 발생 장치를 설치하고, 시편 좌/우에 각각 수음 장치(hydrophone)를 설치하여 시편에 전달된 소음이 반사하거나 투과되는 양을 평가할 수 있다. 이와 같은 방법은 넓은 시편의 음향 성능을 전체적으로 평가할 수 있는 장점이 있지만, 대형 압력 챔버 및 음향 발생 장치 제작에 많은 비용이 소요되는 단점이 있다. 다른 방법인 펄스 튜브를 이용하는 방법은 물이 채워진 긴 관 한편에 음향 발생 장치를 설치하고 평면파로 전파하도록 하여 관 내부에 설치된 시편의 음향 성능을 평가하는 방법이다[2]. 위 방법은 시험 장치의 제작에 비교적 작은 비용이 소요되거나 시편의 크기가 작아야 하기 때문에 불균일한 시편에 대해서는 정확한 음향 성능 특성을 평가하기 어려운 단점이 있다.

† 교신저자; 정회원, 한국기계연구원

E-mail : yhseo@kimm.re.kr

Tel : 042-868-7533, Fax : 042-868-7440

* 한국기계연구원

** 회승 R&A

*** 국방과학연구소

본 연구에서는 시험 장치 제작에 편의성이 있는 펄스 튜브를 이용하여 수중 음향 시편의 성능을 평가하는 시스템을 개발했다. 관내부의 음향 전파가 평면파의 형태가 되도록 펄스 튜브의 기본 설계가 진행되었으며, 이에 따라 10 kHz 와 30 kHz 까지 측정이 가능한 두 개의 펄스 튜브가 제작되었다. 펄스 튜브의 수중 환경을 실제와 유사하게 만들기 위해 온도 조절 장치와 압력 조절 장치가 구비되어 있으며, 자동 시험 데이터 획득 및 처리 시스템이 구축되었다. 측정 시스템뿐만 아니라 반향음 감소(echo reduction, ER) 및 전달 손실(transmission loss, TL)을 좀 더 정밀하게 측정하는 방법이 새로이 제안되었으며, 이론값이 존재하는 시편에 대해 수중 음향 성능을 측정하여 개발된 시스템의 성능을 검증했다.

2. 음향 성능 측정 시스템 설계 및 제작

펄스 튜브를 이용한 수중 음향 성능 측정은 펄스 튜브 내부가 물로 채워져 있으며, 이때 음파가 평면파로 전달되는 것을 기본 전제로 한다. 따라서 원형관의 고차 모드 전파가 시작되는 아래와 같은 한계 주파수 이하에서만 음향 성능 측정이 가능하다[3].

$$f_{\max} \approx \frac{c_w}{1.7D} \quad (1)$$

여기에서 D 는 펄스 튜브의 내부 직경을 의미하며, c_w 는 물속에서의 음속을 의미한다. 본 연구에서는 최대 주파수가 각각 10 kHz 와 30 kHz 인 펄스 튜브를 설계함으로 한계 주파수가 각각 12 kHz 와 34 kHz 가 되도록 내부 직경을 70 mm, 25 mm 로 결정했다. 이하 내부 직경 70 mm 튜브를 저주파 튜브로 내경 25 mm 튜브를 고주파 튜브로 칭한다.

펄스 튜브 전체 길이는 시험에 직접적으로 영향을 미치는 설계 변수는 아니지만 동압 센서에 측정되는 반사파가 전달과와 최대한 이격되어 나타날 수 있도록 최대한 길게 설계했다. 저주파 및 고주파 펄스 튜브에 대해 펄스 튜브에 대해 튜브 길이를 각각 5 m, 2.5 m 로 결정했다.

펄스 튜브 내부에서 평면파가 전파될 때, 튜브 벽과의 상호 작용이 생기면 음향 신호의 왜곡이 발생하여 정확한 음향 성능 측정을 할 수 없다. 즉, 펄스 튜브 벽두께는 관심 주파수 영역에 대해 충분히 강하게(stiff) 설계되어야 한다. 저주파 및 고주파 펄스 튜브에 대해 펄스 튜브에 대해 튜브 두께를 각각 50 mm, 15 mm 로 결정했다.

각 튜브의 음향 신호를 생성하는 음향원(source)

는 아래 표 1 과 같은 모델이 사용되었으며 펄스 튜브 최하단에 설치되었다. 이들은 관심 주파수 영역에서 충분한 음향 가진이 가능한 특성들을 각각 가지고 있다. 또한, 펄스 튜브 내부의 압력 신호를 측정하는 동압 센서를 각 2 개씩 튜브 벽면에 설치하여 입사파 및 전달파를 측정하고 음향 성능을 계산한다. 위 동압 센서는 튜브 벽면의 진동이 압력 신호로 나타나는 경우가 발생할 수 있는데, 이는 측정하고자 하는 값이 아니기 때문에 아래 Figure 1 과 같이 동압 센서 설치부분에 진동 절연이 되고 압력에 대한 밀봉(sealing)이 가능하도록 분리 구조로 설계하고 오링(o-ring)을 추가적으로 설치했다.

Table 1 Acoustic source specifications

	Low frequency pulse tube	High frequency pulse tube
Manufacturer	Neptune sonar	B&K
Model	T204	8104
Sensitivity	-150 dB re 1 V/μPa	-205 dB re 1 V/μPa
Temperature range	-5 °C to 70 °C	-30 °C to 120 °C
Maximum pressure	15 MPa	4 MPa

Table 2 Dynamic pressure sensor specifications

	PCB
Manufacturer	PCB
Model	112A22
Sensitivity	14.5 mV/kPa
Temperature range	-73 °C to 135 °C
Maximum pressure	3450 kPa
Acceleration sensitivity	< 0.0014 kPa/(m/s ²)
Resonance frequency	> 250 kHz
Minimum frequency	0.5 Hz

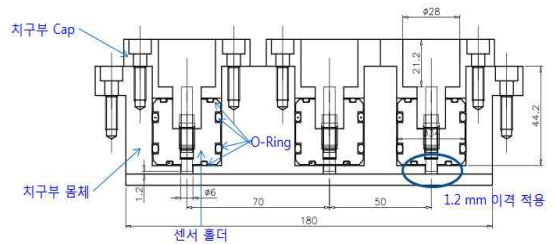


Figure 1 Holder for dynamic pressure sensors

수중 음향 성능은 온도 및 압력(정압)에 따라 크게 달라지는 특성을 가지고 있기 때문에 펄스 튜브 내부 물의 온도 및 압력을 조정하고 일정하게 유지하는 장치가 필요하다. 온도 조절을 위해 펄스 튜브 외부에 Figure 2 와 같이 냉각수가 흐를 수 있는 동관을 감고 이를 온도 조정 장치에 연결했다. 또한 동관 외부를 단열재로 마감하여 온도 조절 후 유지

가 효과적으로 이루어지도록 설계했다. 압력 조절을 위해서는 Figure 3 과 같이 펄스 튜브 내부와 압력 펌프를 연결하고 밸브를 설치하였다. Figure 4 는 개발된 수중 음향 성능 측정 장치를 보여주고 있으며, Table 3 은 측정 시스템의 제원을 보여주고 있다.

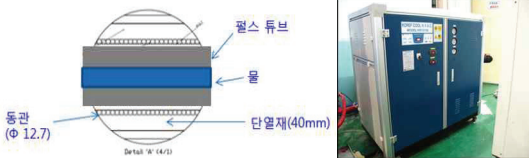


Figure 2 Insulation and temperature controller



Figure 3 Pump and valves

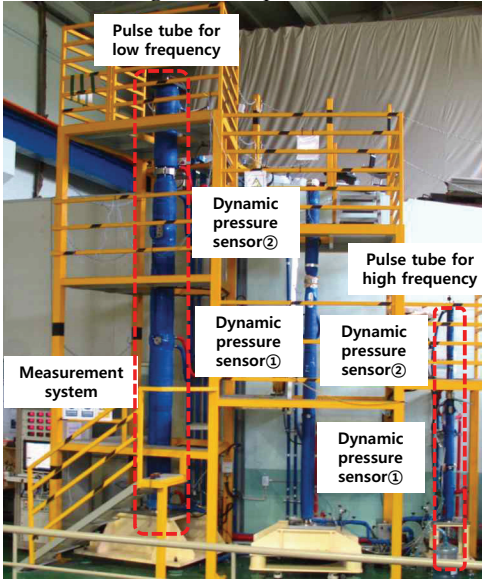


Figure 4 Underwater acoustic performance measurement system

Table 3 Specifications of underwater acoustic performance measurement system

	Low frequency pulse tube	High frequency pulse tube
Inner diameter	70 mm	25 mm
Outer diameter	170 mm	95 mm
Height	5 m	2.5 m
Frequency range	1 ~ 10 kHz	10 ~ 30 kHz
Temperature range	2 ~ 30 °C	
Static pressure range	0 ~ 34 bar	

3. 음향 성능 평가 방법

3.1 반향음 감소 및 전달 손실

음향원(source)에서 발생된 음파가 펄스 튜브 내부에서 평면파의 형태로 전파된다고 가정하면, 아래 Figure 5 와 같이 음파가 음향 시편에 도달하고 반사 또는 전달된다. Figure 5 의 음파를 식 (2)와 같이 주파수 영역으로 푸리에 변환(Fourier transform)하여 각 주파수에서의 음향 시편의 반향음 감소(ER) 및 전달 손실(TL) 성능을 수치적으로 평가할 수 있다.

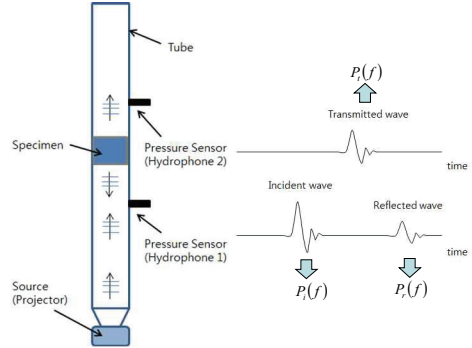


Figure 5 Echo reduction(ER) and transmission loss(TL)

$$ER(f) = -20 \log \frac{P_r(f)}{P_i(f)} \quad (2)$$

$$TL(f) = -20 \log \frac{P_t(f)}{P_i(f)}$$

여기에서 $P_i(f)$, $P_r(f)$ 와 $P_t(f)$ 는 각각 입사파, 반사파, 전달파 동압의 푸리에 변환이다.

3.2 음향 신호 생성

음향 성능 지표 중 반향음 감소와 전달 손실을 측정하기 위해서는 음향원(source)에서 특정 음향 신호를 발생시켜야 한다. 이 경우 사용할 수 있는 방법은 두 가지로서 하나는 일정 주파수를 갖는 정현파를 짧은 시간(반사파와 겹치지 않도록 조정)동안 발생시키는 방법이 있다. 이러한 신호를 톤버스트(tone burst) 신호라 칭하며, 이를 사용하는 경우 단일 주파수에 대해 에너지가 큰 신호를 발생시킬 수 있는 반면, 여러 주파수 대역에 대한 시험을 할 경우 반복적인 시험이 필요하다. 다른 방법은 광대역 주파수 성분을 갖는 임펄스 신호를 발생시켜 사용하는 방법으로서 여러 주파수 대역에 대한 시험을 한번에 효율적으로 수행할 수 있다. 이전 연구를 통하여 톤버스트와 아래 식으로 표현되는 Haversine 임펄스를 이용한 시험 결과가 일치한다는 것이 확인되었다[4].

$$P_i(t) = \frac{1 - \cos(2\pi f_c t)}{2} \quad (3)$$

본 시험 장치에서는 관심 주파수 영역을 고려하여 저주파 튜브에서는 $f_c=10$ kHz, 고주파 튜브에서는 $f_c=30$ kHz의 Haversine 임펄스 신호를 이용하여 시험을 진행한다. 비록 생성 신호는 Figure 6 과 같은 Haversine 이지만 음향원의 동적 응답으로 인해 발생하는 음파는 다른 형태를 띠며 이를 주파수 분석하면 Figure 7 과 같이 관심 주파수 대역에서 충분한 음향 가진이 이루어졌음을 확인할 수 있다.

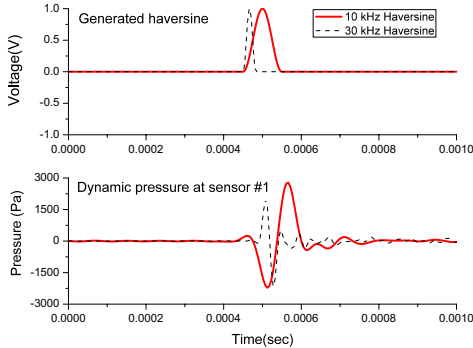


Figure 6 Generated signals and incident waves

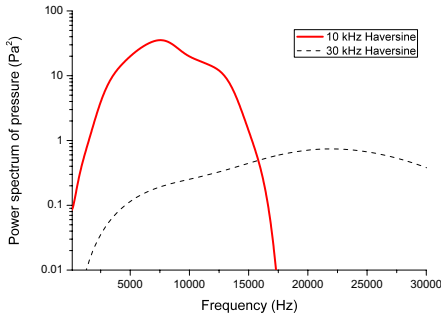


Figure 7 Spectrum of incident wave

3.3 반향음 감소와 전달 손실 측정 절차

앞서 정의된 반향음 감소(ER) 및 전달 손실(TL)은 기본적으로 동압 센서에서 측정된 입사파, 반사파 및 전달파를 주파수 영역에서 계산함으로써 음향 성능을 얻을 수 있다. 하지만 동압 센서들에서 측정된 신호는 여러 실험의 불확실성이 포함된 신호이기 때문에 30 회 신호를 반복적으로 취득하여 이를 시간 영역에서 평균하여 입사, 반사 및 전달파를 얻을 수 있다.

여기에서 Figure 8(a)와 같이 동압 센서 #1의 신호를 살펴보면 음향원에서 발생시킨 임펄스 신호 이후에 잡음 성분이 나타나고 있는 것을 확인할 수 있다. 위 잡음 성분은 실제 음향원에서 생성된 신호

가 아닌 튜브 벽면으로 전달된 소음으로 판단된다. Figure 8(a)에서 볼 수 있듯이 반사파 성분이 위 잡음과 섞여서 신호의 왜곡이 발생했으며, 이는 결과적으로 정밀한 반향음 감소 성능 시험 측정을 방해하기 때문에 이에 대한 보정이 필요하다.

본 연구에서는 펄스 튜브 내부에 음향 시편을 넣고 시험하기 이전에 Figure 8(b)와 같이 음향 시편 없이 빈 펄스 튜브에 대해 동압 센서 #1의 신호를 취득하여 이를 시편 시험 결과에서 감하여 반사파를 확인하는 방법을 사용했다. Figure 8(c)에서 확인할 수 있듯이 반사파가 나타나는 부근에 잡음이 크게 감소했으며, 이를 이용하면 정밀한 반향음 감소 측정이 가능하다.

전달 손실의 경우 빈튜브 시험 결과를 이용한 보상이 불가능할 뿐만 아니라 전달파가 나타나는 부분은 잡음의 영향이 작기 때문에 Figure 8(d)와 같이 동압 센서 #2에서 측정된 신호를 사용한다.

일반적으로 푸리에 변환 전에 스펙트럼 누설을 줄이기 위해 시간 신호에 창문(윈도우) 함수를 곱하여 사용한다. 본 시험에서는 정상 상태 신호가 아닌 과도 임펄스 신호를 사용하기 때문에 taper cosine 함수를 창문 함수로 이용했다.

Figure 9은 반향음 감소와 전달 손실 측정 및 신호 처리 절차를 도식적으로 보여주고 있다.

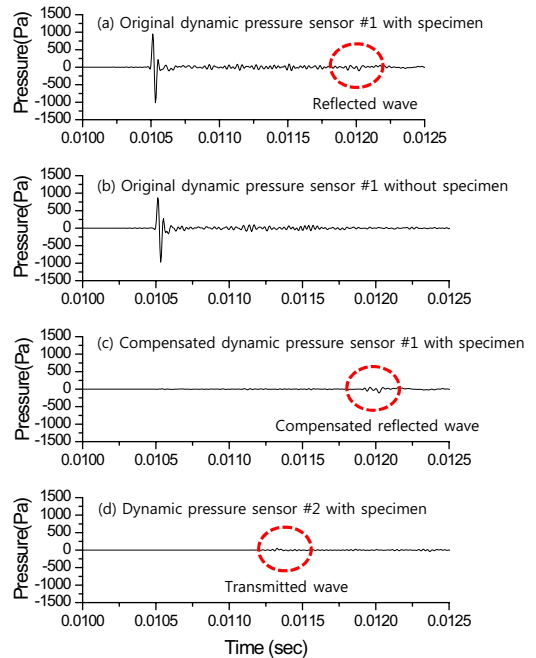


Figure 8 Compensation of dynamic pressure waves

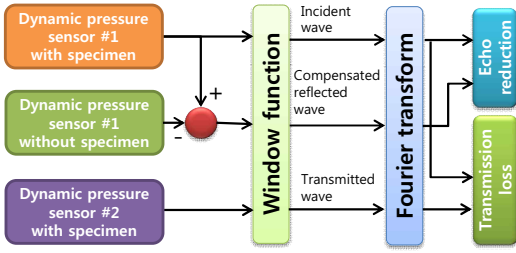


Figure 9 Processing procedure for ER and TL

4. 수중 음향 성능 측정 시스템 검증

개발된 수중 음향 성능 측정 시스템을 검증하기 위해서 각각의 튜브에 대해 3 가지 조건에서 시험을 실시했다. 우선 튜브 내부에 평면과 형태로 음파가 전파되는지를 확인하기 위해서 시편이 설치되지 않은 상태에서의 전달 손실을 측정 했다. 평면파로 전파가 된다면 전달 손실 값은 0 dB 이어야 한다. 추가적으로 이론값이 알려진 자유단에서의 반향음 감소 및 스테인리스 스틸(SUS) 두께 10 mm 시편에서의 전달 손실을 각각 측정했다.

Figure 10 ~ 15 은 펄스 튜브 성능 검증을 위해 실시한 시험 결과를 보여주고 있다. 비교 결과를 살펴보면 저주파 펄스 튜브에 대한 시험은 이론치와 실험치 오차가 ± 1 dB 이내로 일치하고 있으며, 고주파 펄스 튜브에 대해서는 오차가 ± 2 dB 이내로 일치하고 있다. 고주파 펄스 튜브는 펄스 튜브 장치의 작은 크기로 인해 주변 진동 및 환경의 영향을 더 받아 저주파 튜브에 비해 측정 결과의 불확도가 큰 것으로 추정된다. 하지만, 이는 본 연구에서 목적으로 하는 음향 성능 측정 오차 내에 존재하기 때문에 만족할만한 측정 성능을 보이는 것으로 판단된다.

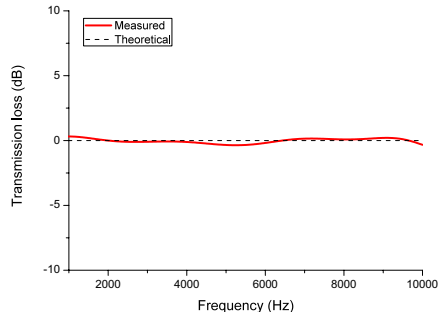


Figure 10 TL without a specimen in low frequency pulse tube

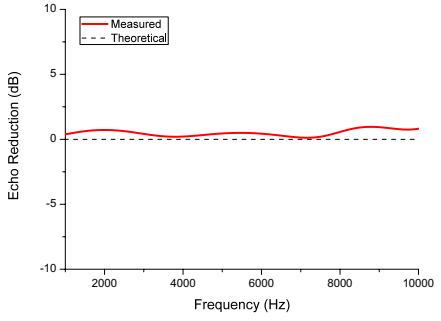


Figure 11 ER for free surface in low frequency pulse tube

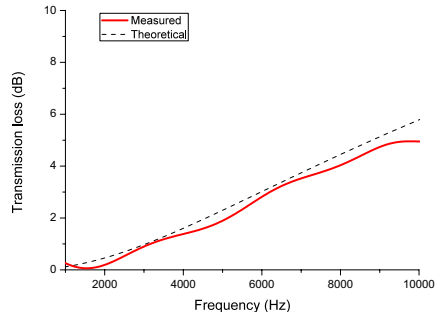


Figure 12 TL for SUS 10t in low frequency pulse tube

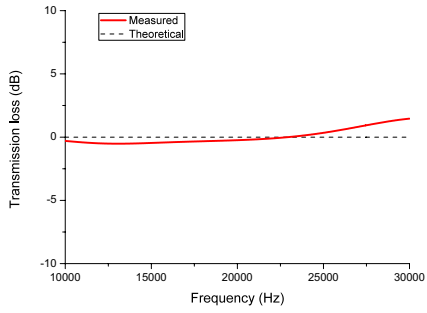


Figure 13 TL without a specimen in high frequency pulse tube

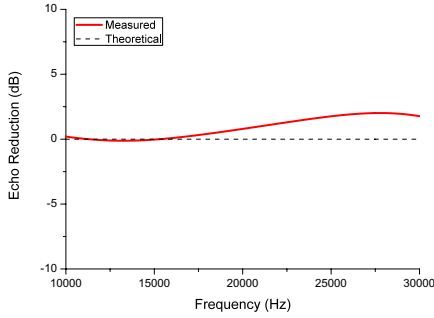


Figure 14 ER for free surface in high frequency pulse tube

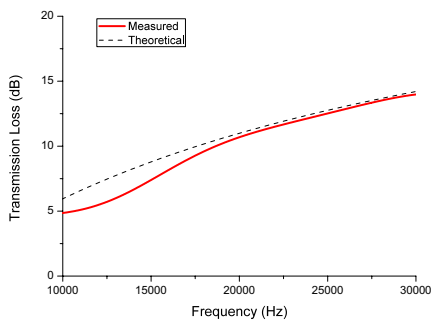


Figure 15 TL for SUS 10t in high frequency pulse tube

6. 결론

본 논문에서 수중 음향 시편의 반향음 감소 및 전달 손실 성능을 평가하는 통합 시스템이 개발되었다. 내부에서 평면파가 형성되어 전달되고, 온도 및 압력 조정이 가능하도록 펄스 튜브를 설계/제작했다. 효율적인 시험을 위해 음향원으로 임팩트 신호를 이용했으며, 정밀한 성능 측정을 위해 반사파의 잡음을 제거하는 방법을 제안했다. 개발된 시험 시스템 및 시험 방법을 통하여 실제 수중 환경하에서 다양한 음향 시편에 대한 정밀한 수중 음향 성능 평가가 가능하리라 기대된다.

참 고 문 헌

- (1) Humphrey, V. F., Robinson, S. P., Smith, J. D., Martin, M. J., Beamiss, G. A., Hayman, G. and Carrol, N. L., 2008, Acoustic characterization of panel materials under simulated ocean conditions using a parametric array source, *Journal of Acoustic*

- Society of America, Vol. 123, No. 2, pp. 803~814.
 (2) Piquette, J. C. and Stephen E. F., 2001, Low-frequency echo-reduction and insertion-loss measurements from small passive-material samples under ocean environmental temperatures and hydrostatic pressures, *Journal of Acoustic Society of America*, Vol. 110, No. 4, pp. 1998~2006.
 (3) Munjal, M. L., 1987, *Acoustics of Ducts and Mufflers*, John Wiley & Sons, Inc., New York.
 (4) Lee, S. H., Kim, J. S., Kim, H. S., Kim, B. K. and Kim, S. R., 2011, Measurement of underwater acoustic properties using impulse signal, *Proceedings of the KSNVE Annual Spring Conference*, pp. 283~284.
 (5) Kim, S. R., Kim, J. S., Kim, J. H., Ham, I. B. and Jeon, J. J., 2012, Measurement of decoupling performance of a multi-layered underwater decoupling material, *Proceedings of the KSNVE Annual Autumn Conference*, pp. 437~444.
 (6) Tao, M., Tang, W. L. and Hua, H. X., 2010, Noise Reduction Analysis of an Underwater Decoupling Layer, *ASME Journal of Vibration and Acoustics*, Vol. 132, pp. 061006-1~061006-7.